# 제 2편 고분자의 구조 및 특성

## 5장 고분자의 구조

▶ 물리적 상태에 따른 고분자의 분류



- ▶ 비결정성 고분자
  - 비정질 상태나 유체 또는 유리 상태로 존재
  - 화학적 또는 이성체적 불규칙성에 의해 결정격자를 형성할 수 없는 경우
- ▶ 형태학(Morphology)
  - 결정형성의 과정 및 결정형태를 관찰하는 학문
  - 고분자의 구조 → 고분자의 성질 및 특성을 이해
- ▶ 결정성 고분자의 주요 사항
  - ※ 분자들의 사슬형태의 성질 → 대단히 복잡한 구조와 형태를 표출
  - 1. 결정성(결정화에 필요한 고분자의 구조적 요건 및 특성)과 결정구조
  - 2. 결정화 및 결정형태와 관련하여 용액상태로부터 결정화된 결정의 형태와 용 융상태로부터 결정화된 결정의 형태

### 5.1 고분자 구조 및 형태학의 개요

- ▶ 고분자사슬
  - 용액이나 용융상태 : Random Coil 형태의 구조
  - 고체상태 : 비정형 또는 결정형태의 구조

#### 5.1.1 Fringed Micelle 이론(1930년대 Sauter 등에 의해 제안된 이론)

- ▶ 고분자 사슬이 중간의 비정형 영역을 경유하여 1개 이상의 결정 형성에 관여
- ▶ 부분적 결정(Semi-Crystalline)이 있는 고분자의 bulk property를 설명하는 데 적합
- ▶ 사슬들의 규칙적 배향(Orientation)이나 특정형태의 결정모형을 설명할 수 없음



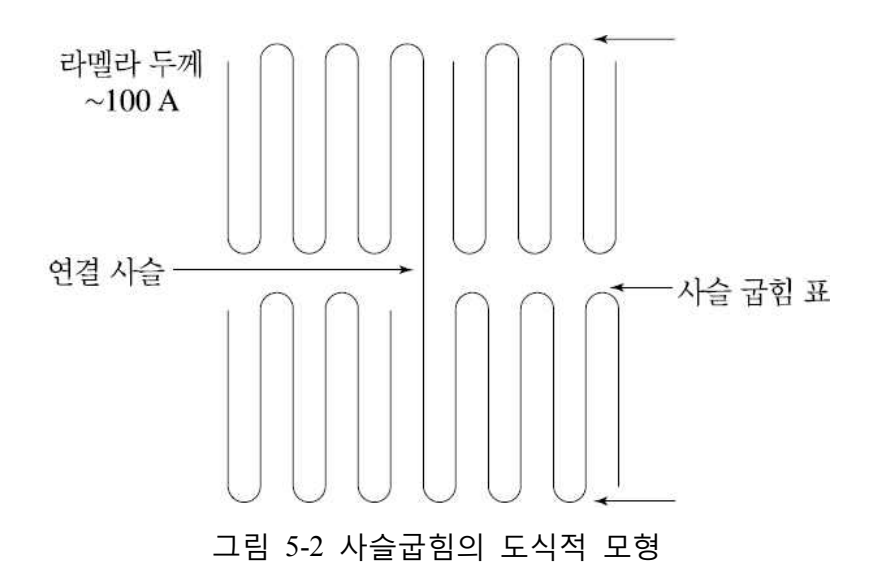
그림 5-1 고분자의 결정-비정형 구조를 나타내는 Fringed Micelle 모델

## 5.1.2 사슬굽힘 이론(1957년 Keller 교수에 의해 제안)

## ▶ 라멜라

- 두께 : 약 100 Å

- 고분자사슬이 굽힘 형태에 의해 판상모형(platelet)의 결정형태



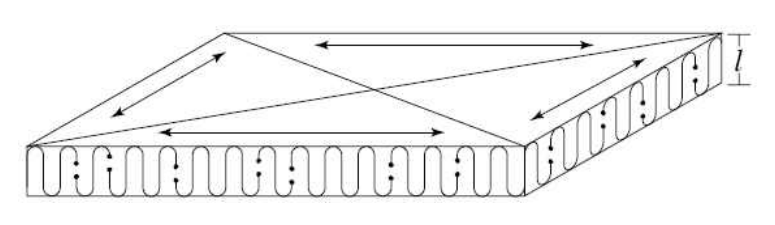


그림 5-3 고분자 라멜라의 2차원적 도식적 모형

## 5.2 고분자 결정형성을 위한 구조적 요건

#### 5.2.1 화학적 규칙성

Poly(hexamethylene adipamide), Nylon 6,6

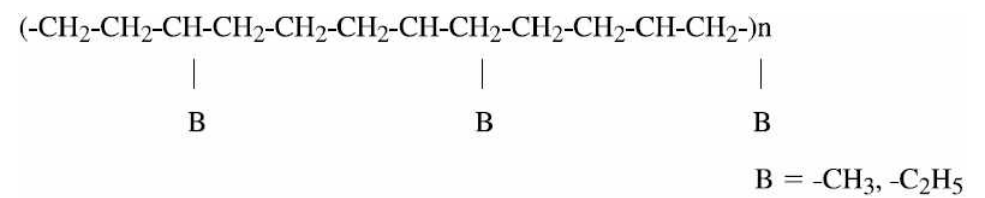
- ▶ 블록 공중합체나 교대 공중합체 : 고분자 결정화 가능
- ▶ 랜덤 공중합체 : 비결정
- ▶ 결정화도(crystallinity)에 영향을 미치는 요인
  - 부가반응에 있어서 반복단위 radical의 부가방법에 따라 결정화에 영향
    - ※ 일반적인 head-to-tail 형태의 부가형태에 head-to-head 또는 tail-to-tail 형태의 불규칙한 부가형태의 존재는 결정화도를 낮추는 요인이 될 수 있다.

- 곁가지(side chain branch)의 존재 <예> PE
  - 고압중합(high pressure polymerization) 100개의 (CH<sub>2</sub>) 반복단위 당 약 3 개의 곁가지가 존재 → 결정화도 = 약 40

~50% → LDPE 생산

 저압중합(low pressure polymerization)
 약 1000 개의 (CH<sub>2</sub>) 반복단위당 약 3 개의 곁가지 존재 → 선형의 폴리에틸 렌(linear polyethylene)을 형성 → 결정화도 = 약 90~95% → HDPE 생성

### <예> polyethylene



#### 5.2.2 입체규칙성

- ▶ 측쇄가 부착된 비대칭 탄소 → 입체이성(stereoisomerism) 효과가 존재
- ▶ 입체적 규칙성(stereoregularity)을 가지는 고분자(1955년 Ziegler와 Natta)

### 1) 이소택틱

- 측쇄기 R이 주사슬 zig-zag 탄소 한쪽면의 좌우 한 방향으로 존재 → 결정화

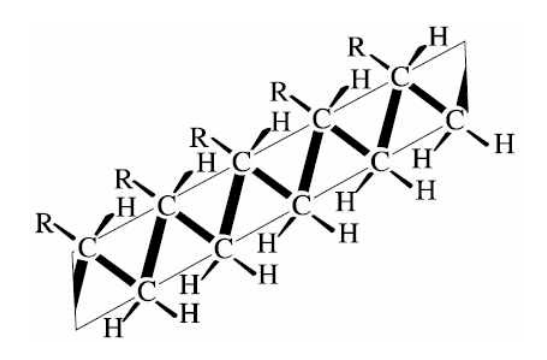


그림 5-4 이소택틱 사슬의 입체형태

### 2) 신디오택틱

- 측쇄기 R이 주사슬 zig-zag 탄소 한쪽 면의 좌우에 교대로 배열 → 결정화

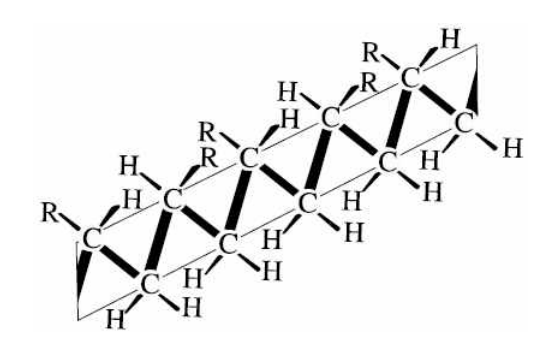


그림 5-5 신디오택틱 사슬의 입체형태

※ 같은 화학식에 의한 고분자 결정이라도 이소택틱 구조와 신디오택틱 구조에 의한 결정은 각기 아주 다른 결정구조를 나타내게 된다. 일예로 이소택틱 폴리프로 필렌이 31 helical 구조의 monoclinic 결정형태를 나타내는 반면, 신디오택틱 폴리프로 프로필렌은 2 fold screw axis의 결정구조를 나타내고 있다.

## 3) 어택틱

- 측쇄기 R이 주사슬 zig-zag 탄소 한쪽면의 왼쪽, 오른쪽에 불규칙적으로 배열 → 결정화가 일어날 수 없는 입체구조

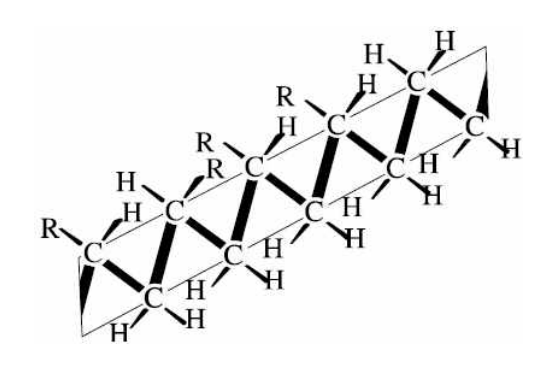


그림 5-6 어택틱 사슬의 입체형태

## 5.2.3 분자량

- ▶ 고분자의 분자량 분포(molecular weight distribution)
  - 매우 넓은 범위
  - 결정의 불규칙성 및 결정화도를 낮추는 매우 주요한 요인
- ▶ 대개의 고분자의 분자량 =  $10^4 \sim 10^6$
- ▶ Fully extended된 길이 : 약 0.1 ~ 10 µm

표 5-1 주요 고분자와 화학 반복

_	50 Vo. 320	
1.	polyethylene	[-CH <sub>2</sub> -CH <sub>2</sub> -]
2.	polyprolylene	[—CH <sub>2</sub> —CH—] CH <sub>3</sub>
3.	poly(4-methylpentene-1)	[— CH <sub>2</sub> — CH — ] CH <sub>2</sub>
4.	polybutene-1	CH <sub>3</sub> —CH CH <sub>3</sub>
		CH <sub>3</sub> —CH CH <sub>3</sub> [—CH <sub>2</sub> —CH—] CH <sub>2</sub> CH <sub>3</sub>
5,	polystylene	[-CH <sub>2</sub> -CH-]
6.	polyoxymethylene	$[-CH_2-O-]$
	poly(ethylene oxide)	$[-CH_2-CH_2-O-]$
	poly(1-chloro-1,2,2-trifluoroethylene)	$[-CH_2-CH_2-O-]$ $[-CF_2-C-]$ $F$
9.	polytetrafluoroethylene	$[-CF_2-CF_2-]$
10.	poly(vinyl chloride)	[-CH <sub>2</sub> -CF-]
11.	polyacrylonitrile	[—CH <sub>2</sub> —CH—] CN
12.	poly(ethlene adipate)	$[-CH_{2}-CF-]$ $[-CH_{2}-CH-]$ $CN$ $O$ $[-O-C-(CH_{2})_{4}-C-O-(CH_{2})_{2}-]$
13.	poly(gluamic acid)	$ \begin{bmatrix} O \\ -C - CH - NH - 1 \\ CH_2 - COOH & O & O \\ -NH - (CH_2)_6 - NH - C - (CH_2)_4 - C - 1 \end{bmatrix} $
14.	poly(hexamethylene adipamide) (Nylon 66)	$[-NH - (CH_2)_6 - NH - C - (CH_2)_4 - C -]$

# 5.3 고분자의 결정구조

## 5.3.1 결정모형의 분류 및 단위세포

▶ 단위세포(unit cell) : 삼차원적으로 규칙적 모형이 반복되는 결정의 기본단위

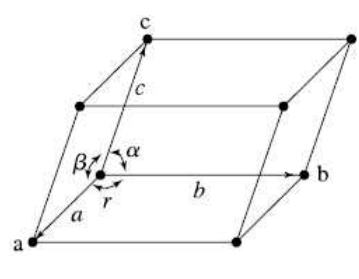


그림 5-7 단위 세포

- ▶ 결정의 분류인자(육면체의 한 모서리를 임의의 원점으로 할 때)
  - 6개의 인자 : 각 변으로의 반복길이  $a,\ b,\ c$  + 그들 사이의 각  $\alpha,\ \beta,\ \gamma$
- ▶ 6개 인자의 조합 → 일곱 개의 기본적인 결정시스템(seven crystal system)
  - cubic, tetragonal, orthorhombic, hexagonal, trigonal, monoclinic, triclinic

System	Axial lengths and angles	Bravais lattice	Lattice symbol
Cubic	Three equal axes at right angles	Simple	P
	$a=b=c, \alpha=\beta=\gamma=90^{\circ}$	Body-centered	Ĭ
		Face-centered	F
Tetragonal	Three axes atl right angles, two equal	Simple	Р
	$a=b\neq c, \ \alpha=\beta=\gamma=90^{\circ}$	Body-centered	1
Orthorhombic	Three unequal axes at right angles	Simple	P
	$a \neq b \neq c$ , $\alpha = \beta = \gamma = 90^{\circ}$	Body-centered	I
	50 00 00	Base-centered	С
	J.	Face-centered	F
Rhombohedral*	Three equal axes, equally inclined $a=b=c, \ \alpha=\beta=\gamma\neq 90^{\circ}$	Simple	R
Hexagonal	Twoequalcoplanaraxesat120° third axis at right angles $a=b\neq c$ , $\alpha=\beta=90^\circ$ , $\gamma=120^\circ$	Simple	P
Monoclinic	Three unequal axes,	Simple	P
	one pair not at right angles $a \neq b \neq c$ , $\alpha = \gamma = 90^{\circ} \neq \beta$	Base-centered	С
Triclinc	Threeunequalaxes, unequally inclined and none at right angles $a\neq b\neq c, \ \alpha\neq\beta\neq\gamma\neq90^{\circ}$	Simple	P

# ▶ 14개의 Bravais Lattice로 결정시스템

- 이들 각 시스템의 모서리(primitive) 뿐만 아니라 내부(body-center)와 각 변 (facecenter)에 존재하는 격자점(lattice point)을 함께 고려

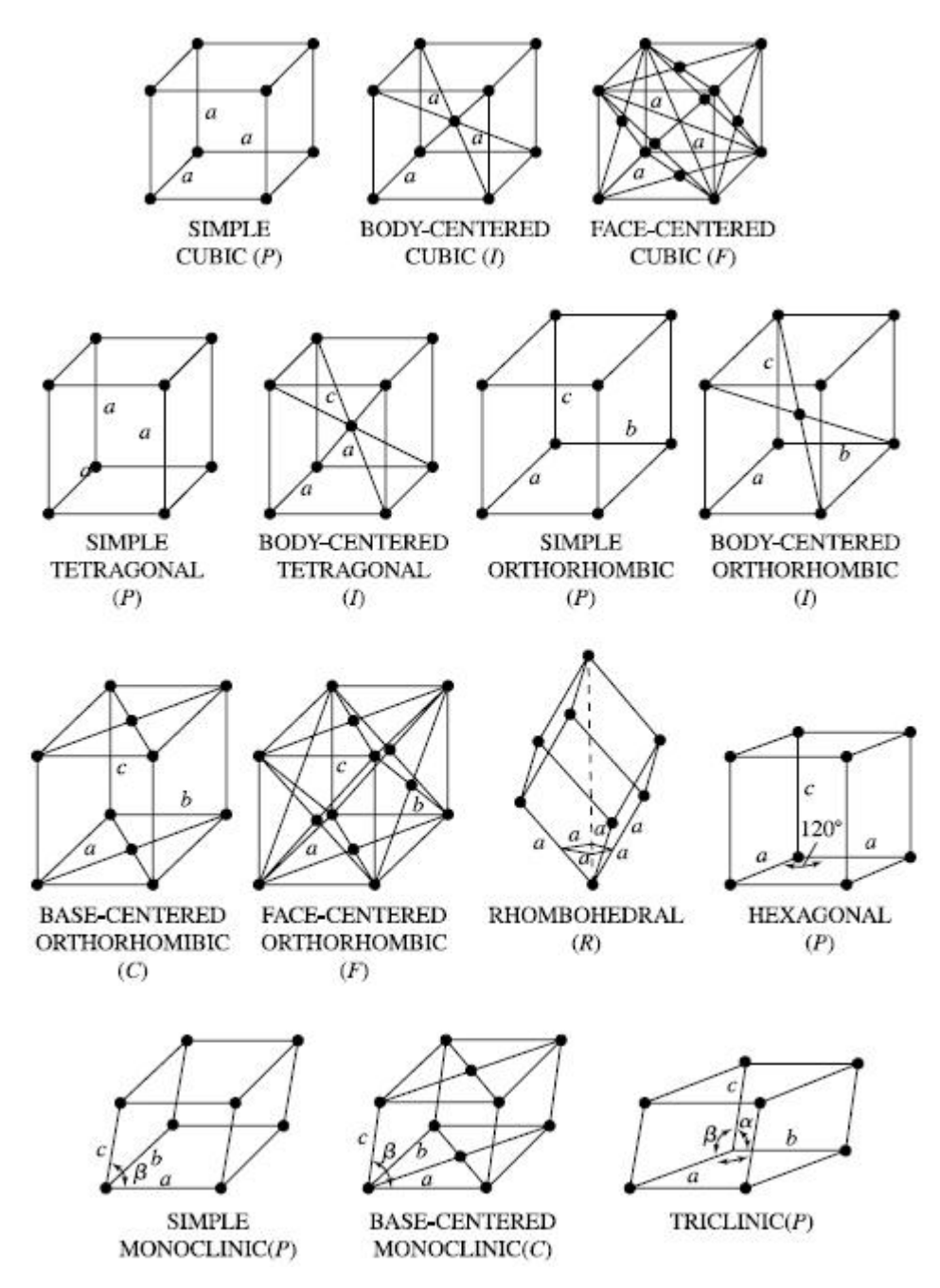


그림 5-9 14 개의 Bravais 격자 모형

## 5.3.2 결정 평면과 Miller Indices

▶ Index (hkl)의 표기법

- 결정 내에 존재하는 임의의 평면(plane)을 나타내는 방법
- 임의의 결정을 구성하는 단위세포의 변 a를 1/h 만큼 변 b를 1/k 만큼 그리고 변 c를 1/l 만큼 절단한 평면의 경우 이들 절단 분율(fractions of intersection) (1/h, 1/k, 1/l)의 역수(h, k, l)로 그 평면을 나타내는 Miller 지수로 이용
- 단위세포의 임의의 축(axis)에 평행한 평면의 경우 축과 무한대에서 만나게 되므로 그 역수는 0이 되어 Miller 지수에 있어서 (hk0), (h01), (0k1) 등과 같이 표기
- 단위세포의 각 축과 음(negative)의 방향에서 절단을 이루는 평면의 경우 위의 해당 Miller 지수 위에 막대기(bar)를 그어 그 평면의 방향을 표기

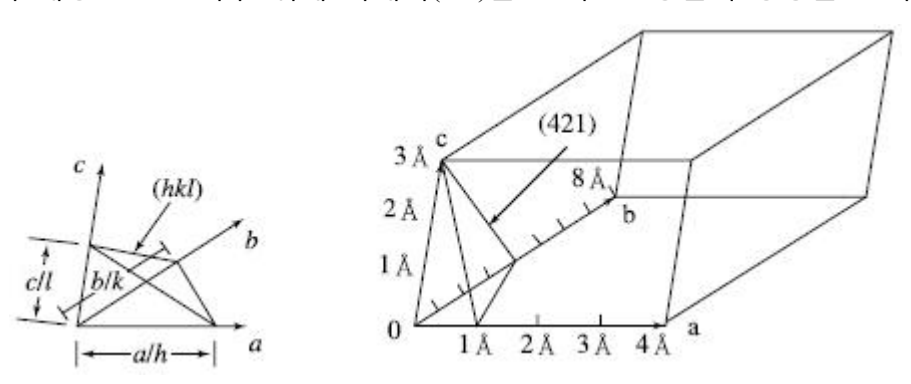


그림 5-10 Miller 지수에 의한 결정 평면 표기

#### 5.3.3 평면간 거리(Interplanar spacings)

## ▶ d-spacing

- 단위세포의 원점으로부터 임의의 평면 (hkl)까지의 수직거리 또는 (hkl) 평면간 의 수직거리(dhkl로 표시)

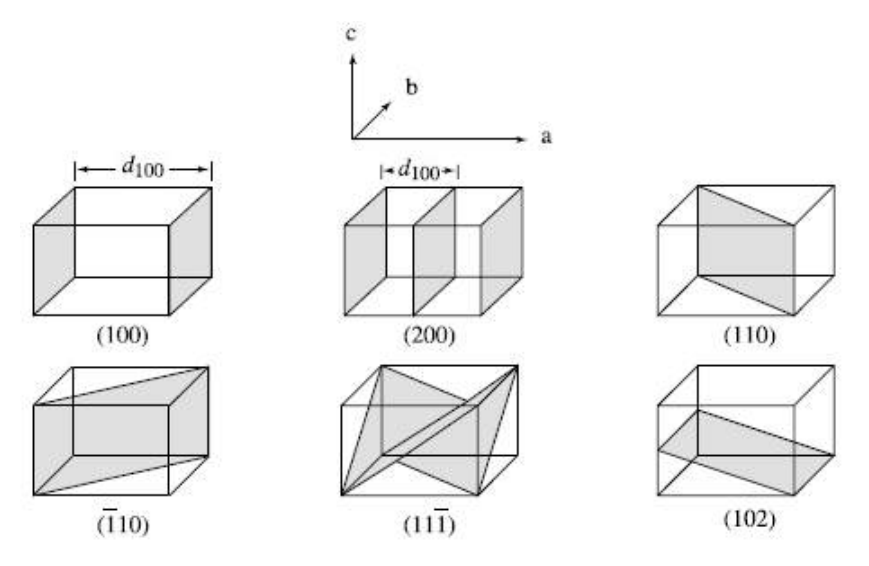


그림 5-11 격자 평면의 Miller 지수에 의한 표기